

Resultados

Erick Vázquez

13 de Agosto del 2023

Contents

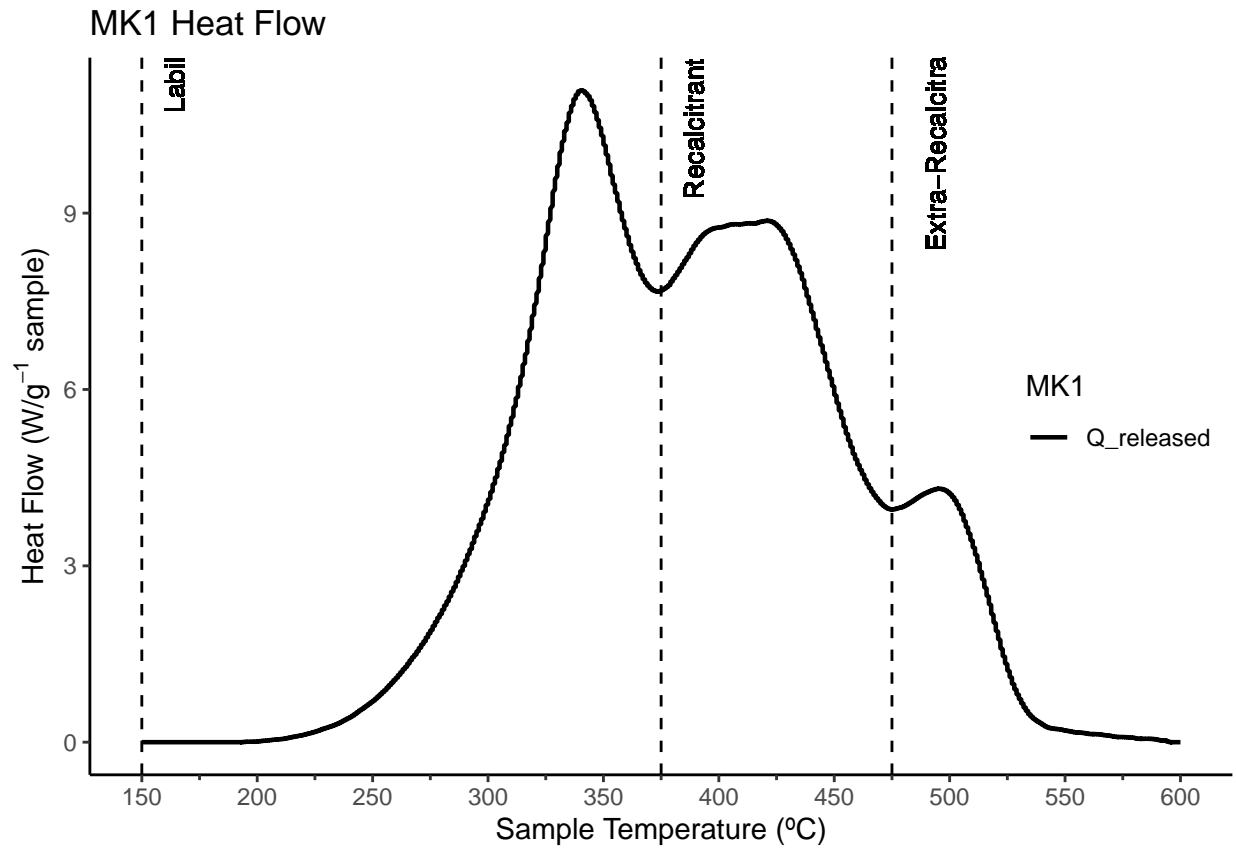
<i>Curvas de DSC de Mantillo</i>	1
<i>MK1</i>	1
<i>MK2</i>	2
<i>MK3</i>	3
<i>ML1</i>	4
<i>ML2</i>	5
<i>ML3</i>	6
<i>MP1</i>	7
<i>MP2</i>	8
<i>MP3</i>	9
<i>Curvas de DSC de Suelo</i>	10
<i>SK1</i>	10
<i>SK2</i>	11
<i>SK3</i>	12
<i>SL1</i>	13
<i>SL2</i>	14
<i>SL3</i>	15
<i>SP1</i>	16
<i>SP2</i>	17
<i>SP3</i>	18

Curvas de DSC de Mantillo

MK1

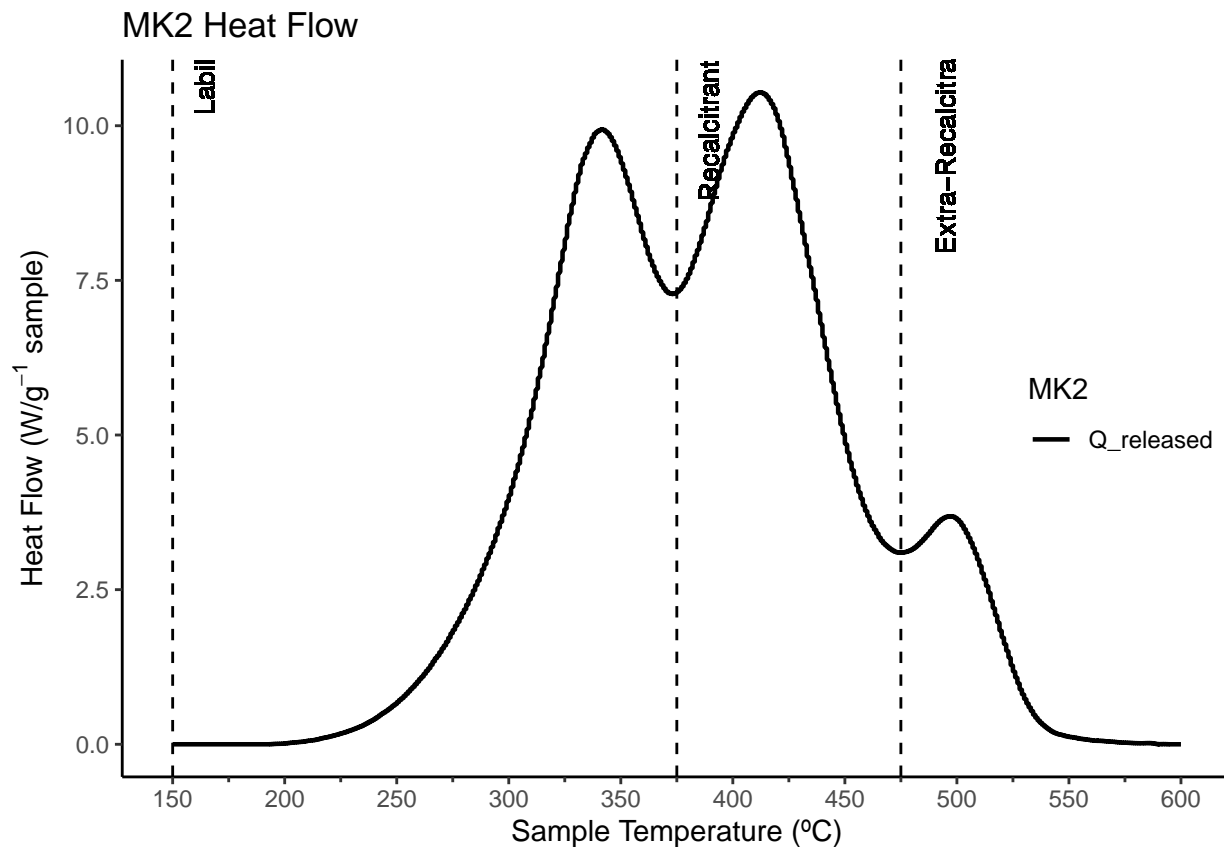
En el termograma de la primera muestra de mantillo de lomerios kársticos presenta una forma trimodal y con una acumulación de energía liberada de 43.2% en la región Q1 con el proceso térmico más prominente que ocurre a los 340.8 °C de temperatura. La región Q2 ocupa un 44.9% de la energía liberada y un pico a

los 420.9 °C de temperatura y se observa un hombro a los 395 °C de temperatura. En la región Q3 se ocupa un 11.9% de la energía liberada y un pico a los 495 °C. En esta muestra se obtuvo un valor de T50 de 398 °C.



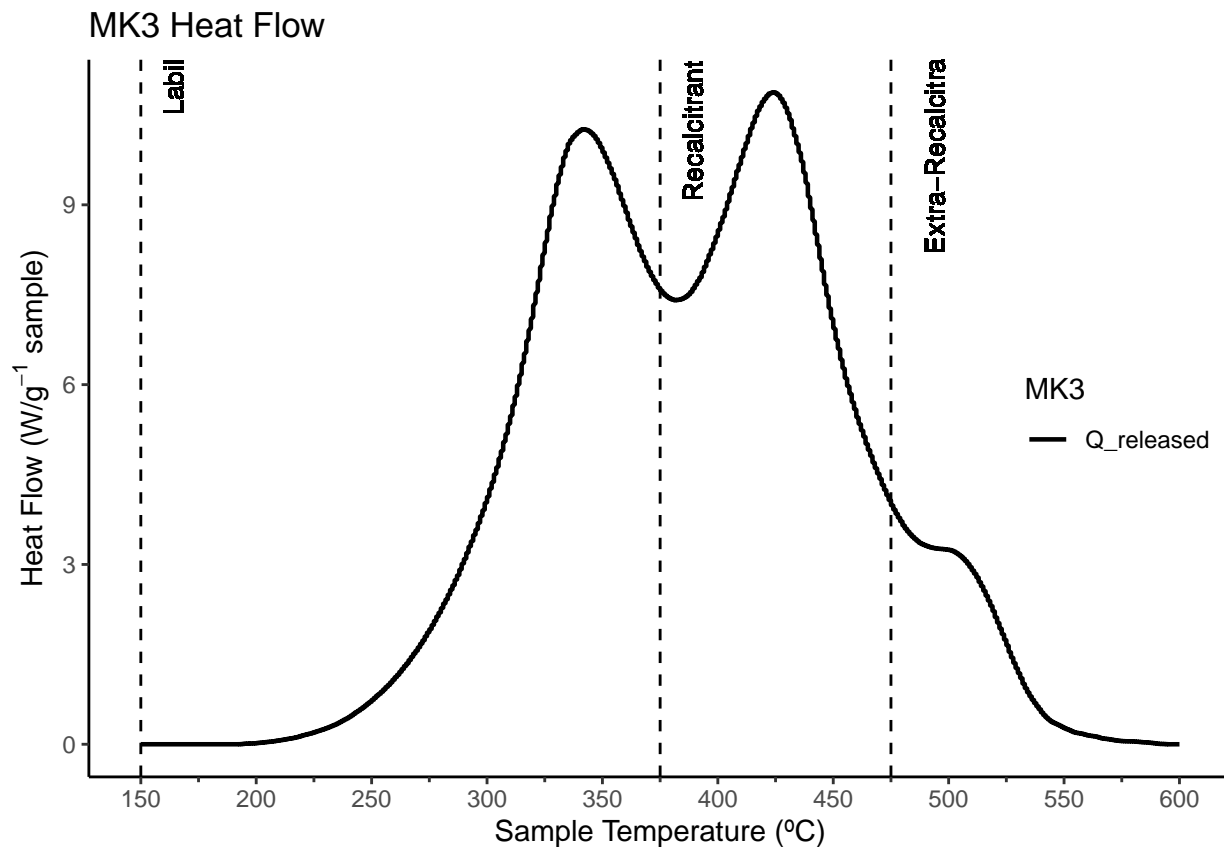
MK2

En el termograma de la segunda muestra de mantillo de lomerios kársticos presenta una forma trimodal y con una acumulación de energía liberada de 42.3% en la región Q1 con un pico que ocurre a los 341.8 °C de temperatura. La región Q2 ocupa un 47.3% de la energía liberada y un pico a los 412.6 °C de temperatura siendo el evento térmico más prominente. En la región Q3 se ocupa un 10.4% de la energía liberada y un pico a los 497.3 °C. En esta muestra se obtuvo un valor de T50 de 391 °C.



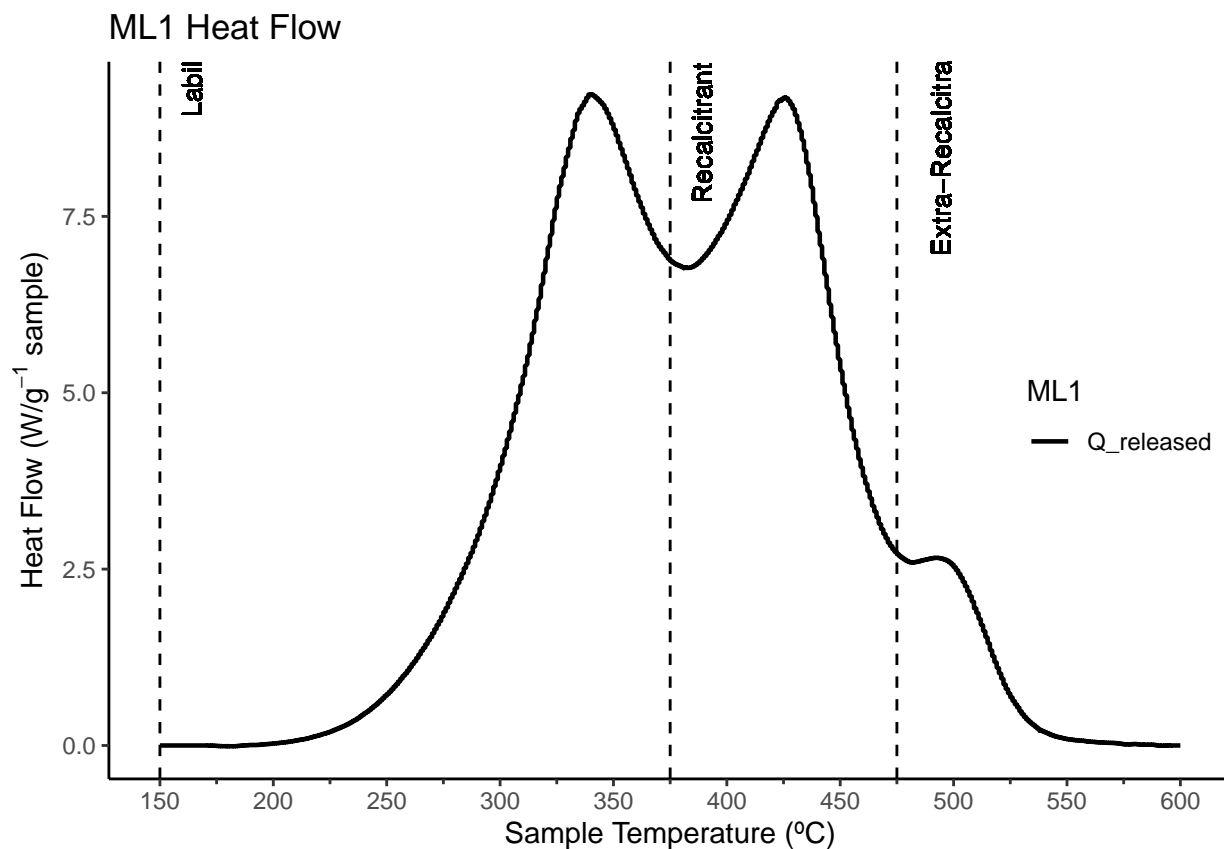
MK3

En el termogr ma de la tercer muestra de mantillo de lomerios k rsticos presenta una forma bimodal y con una acumulaci n de energ a liberada de 41.2% en la regi n Q1 con un pico a los 342.3 $^{\circ}\text{C}$ de temperatura. La regi n Q2 ocupa un 48.1% de la energ a liberada y un pico a los 424.4 $^{\circ}\text{C}$ de temperatura, siendo el evento t rmico m s prominente. En la regi n Q3 se ocupa un 10.6% de la energ a liberada y un hombro a los 475.2 $^{\circ}\text{C}$. En esta muestra se obtuvo un valor de T50 de 394 $^{\circ}\text{C}$.



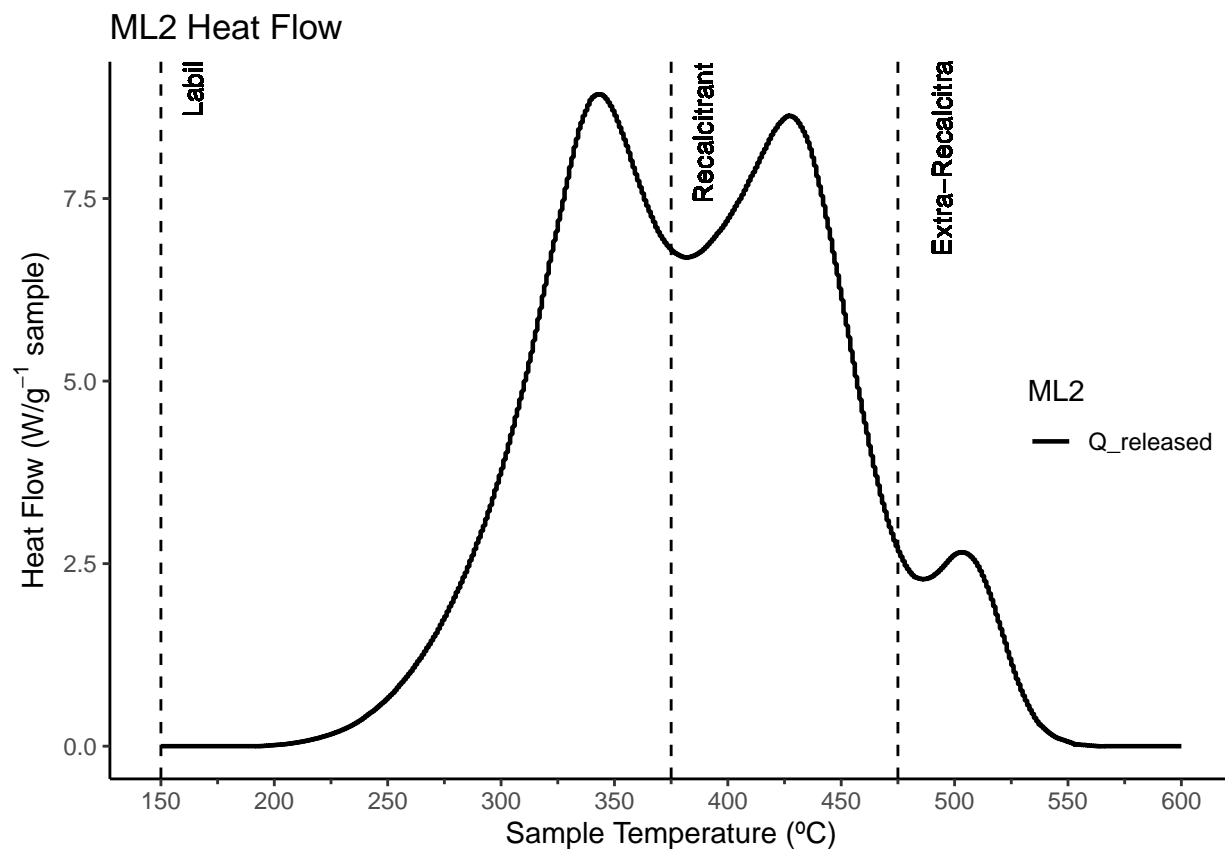
ML1

En el termograma de la primera muestra de mantillo de lomerios presenta una forma bimodal y con una acumulación de energía liberada de 44.8% en la región Q1 con el proceso térmico más prominente que ocurre a los 339.9 $^{\circ}\text{C}$ de temperatura. La región Q2 ocupa un 47.0% de la energía liberada y un pico a los 425.9 $^{\circ}\text{C}$ de temperatura. En la región Q3 se ocupa un 8.2% de la energía liberada y un hombro a los 475.1 $^{\circ}\text{C}$. En esta muestra se obtuvo un valor de T50 de 386 $^{\circ}\text{C}$.



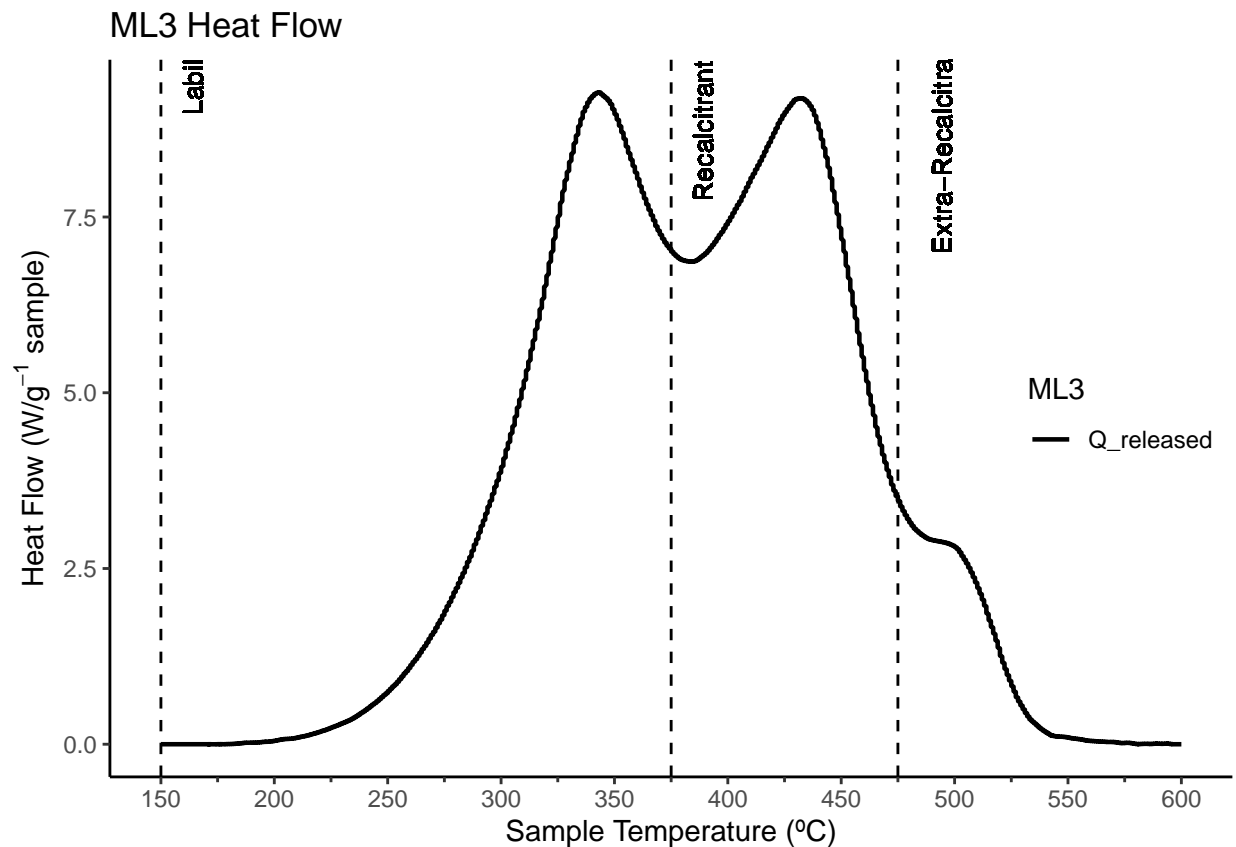
ML2

En el termograma de la segunda muestra de mantillo de lomerios presenta una forma trimodal y con una acumulación de energía liberada de 43.4% en la región Q1 con el proceso térmico más prominente que ocurre a los 343.1 $^{\circ}\text{C}$ de temperatura. La región Q2 ocupa un 47.7% de la energía liberada y un pico a los 427.1 $^{\circ}\text{C}$ de temperatura. En la región Q3 se ocupa un 8.9% de la energía liberada y un pico a los 475.1 $^{\circ}\text{C}$. En esta muestra se obtuvo un valor de T50 de 389 $^{\circ}\text{C}$.



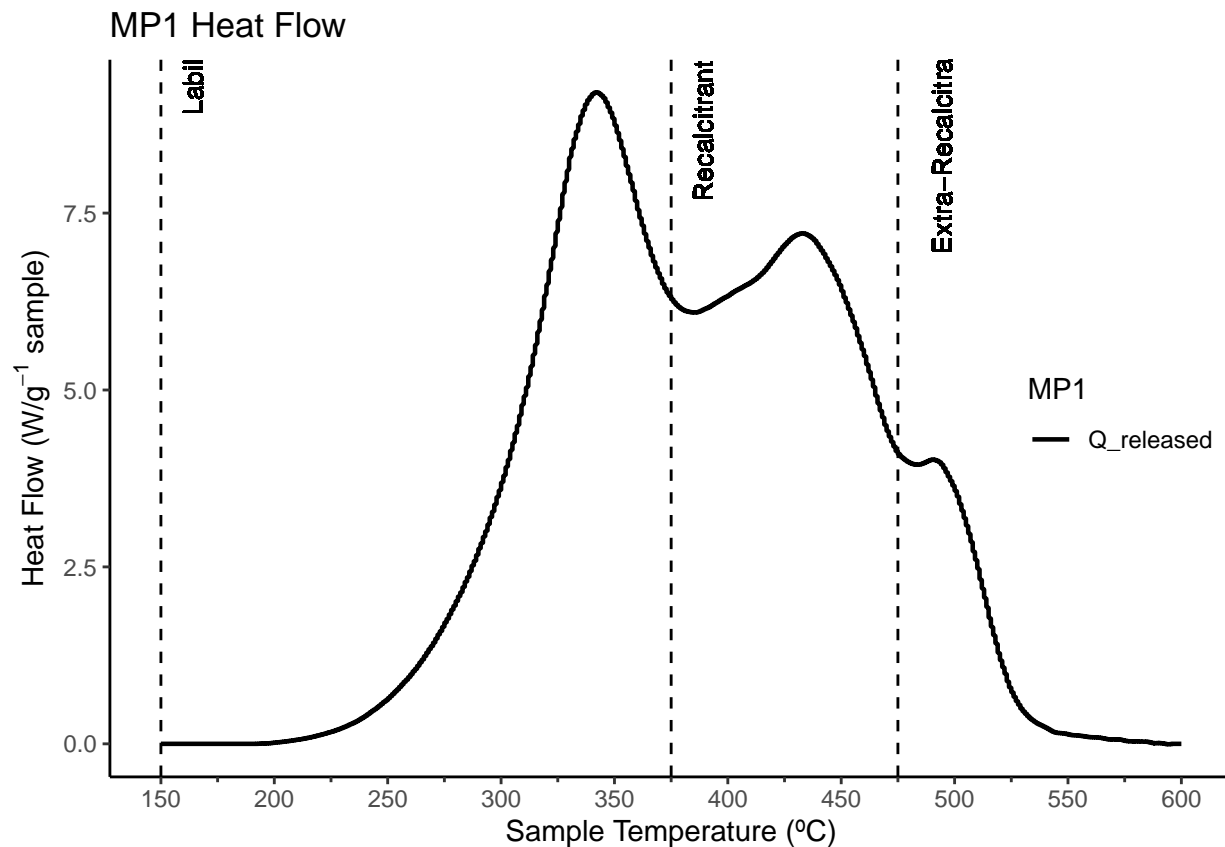
ML3

En el termograma de la primera muestra de mantillo de lomerios presenta una forma bimodal y con una acumulación de energía liberada de 42.8% en la región Q1 con el proceso térmico más prominente que ocurre a los 343.3 $^{\circ}\text{C}$ de temperatura. La región Q2 ocupa un 48.2% de la energía liberada y un pico a los 432.9 $^{\circ}\text{C}$ de temperatura. En la región Q3 se ocupa un 9.0% de la energía liberada y un hombro a los 475 $^{\circ}\text{C}$. En esta muestra se obtuvo un valor de T50 de 391 $^{\circ}\text{C}$.



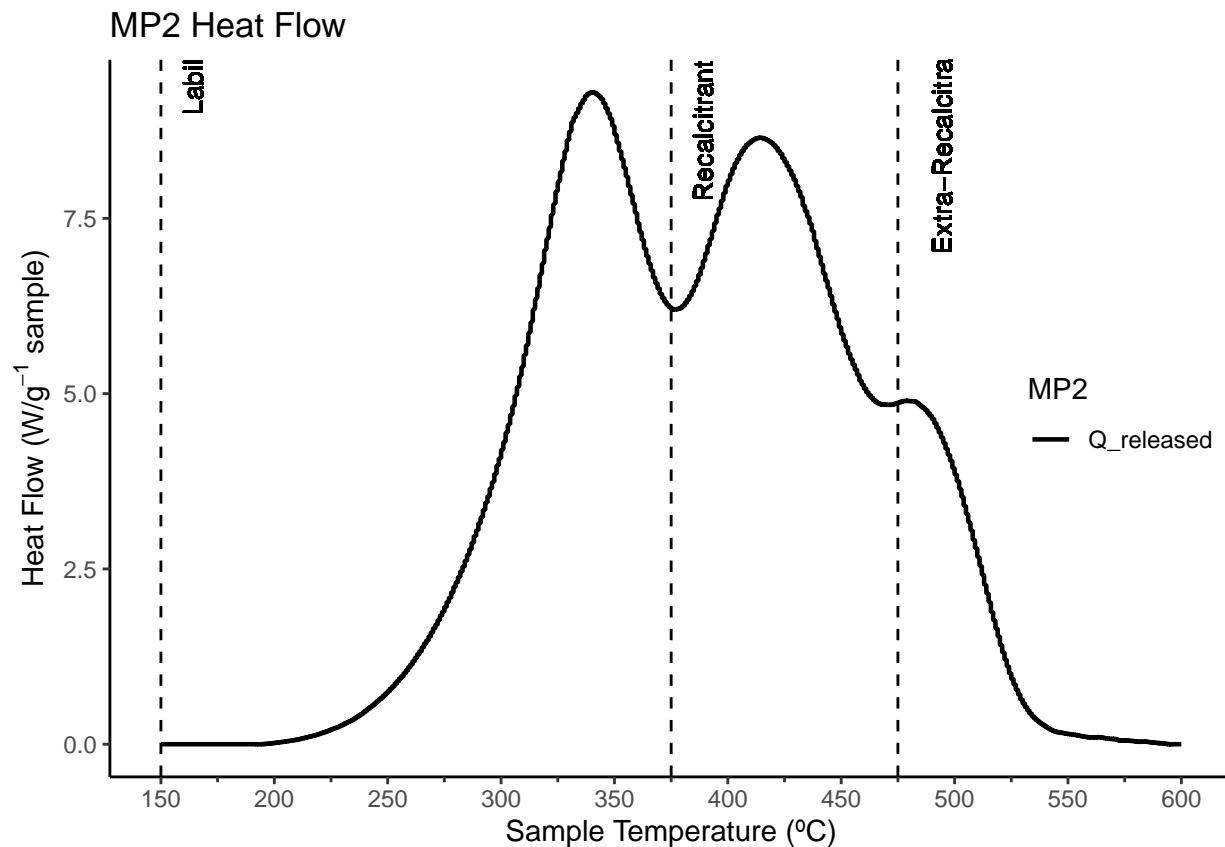
MP1

En el termograma de la primera muestra de mantillo de planicie presenta una forma trimodal y con una acumulación de energía liberada de 43.5% en la región Q1 con el proceso térmico más prominente que ocurre a los 342 $^{\circ}\text{C}$ de temperatura. La región Q2 ocupa un 44.7% de la energía liberada y un pico a los 433.4 $^{\circ}\text{C}$ de temperatura y se observa un hombro a los 403 $^{\circ}\text{C}$ y otro a los 460 $^{\circ}\text{C}$. En la región Q3 se ocupa un 11.8% de la energía liberada y un pico a los 475.1 $^{\circ}\text{C}$. En esta muestra se obtuvo un valor de T50 de 390 $^{\circ}\text{C}$.



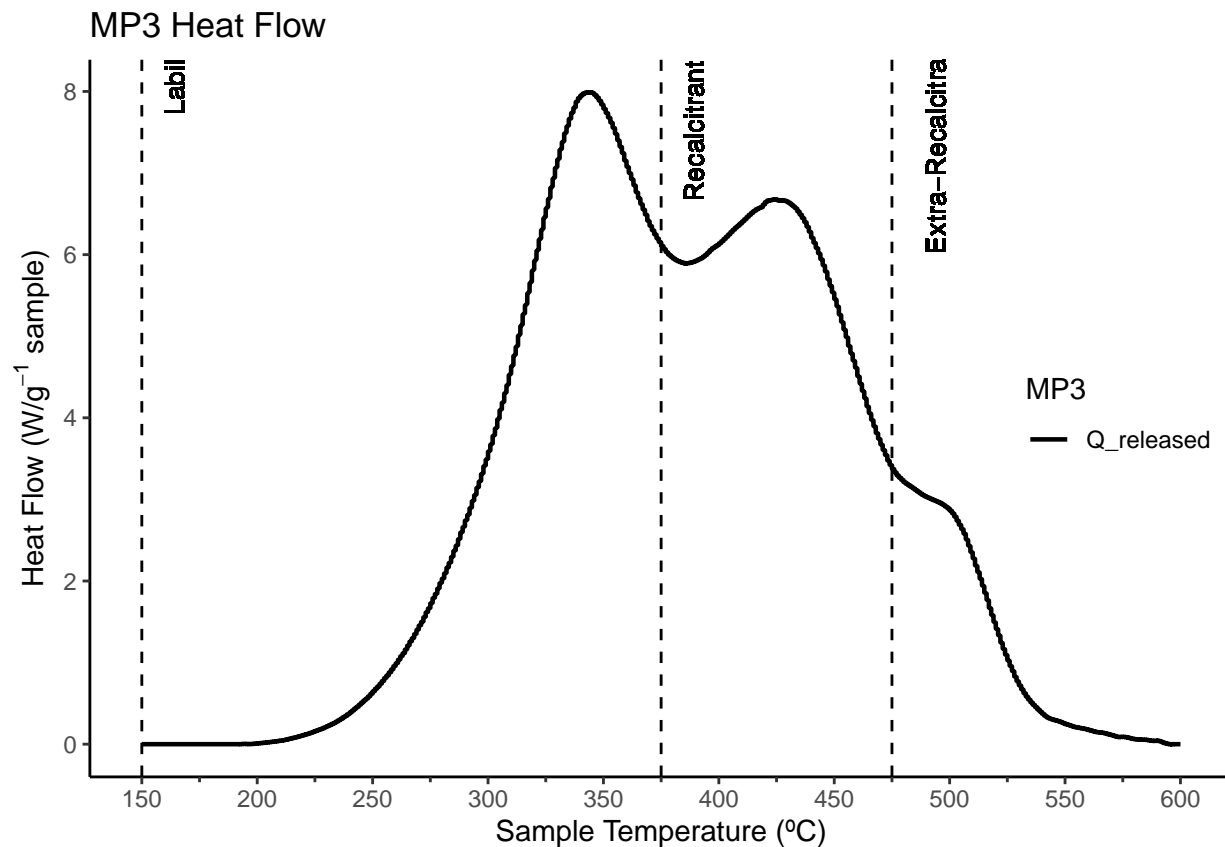
MP2

En el termograma de la segunda muestra de mantillo de planicie presenta una forma trimodal y con una acumulación de energía liberada de 42.2% en la región Q1 con el proceso térmico más prominente que ocurre a los 340.4 $^{\circ}\text{C}$ de temperatura. La región Q2 ocupa un 45.2% de la energía liberada y un pico a los 414.1 $^{\circ}\text{C}$ de temperatura. En la región Q3 se ocupa un 12.6% de la energía liberada y un pico a los 478.9 $^{\circ}\text{C}$. En esta muestra se obtuvo un valor de T50 de 393 $^{\circ}\text{C}$.



MP3

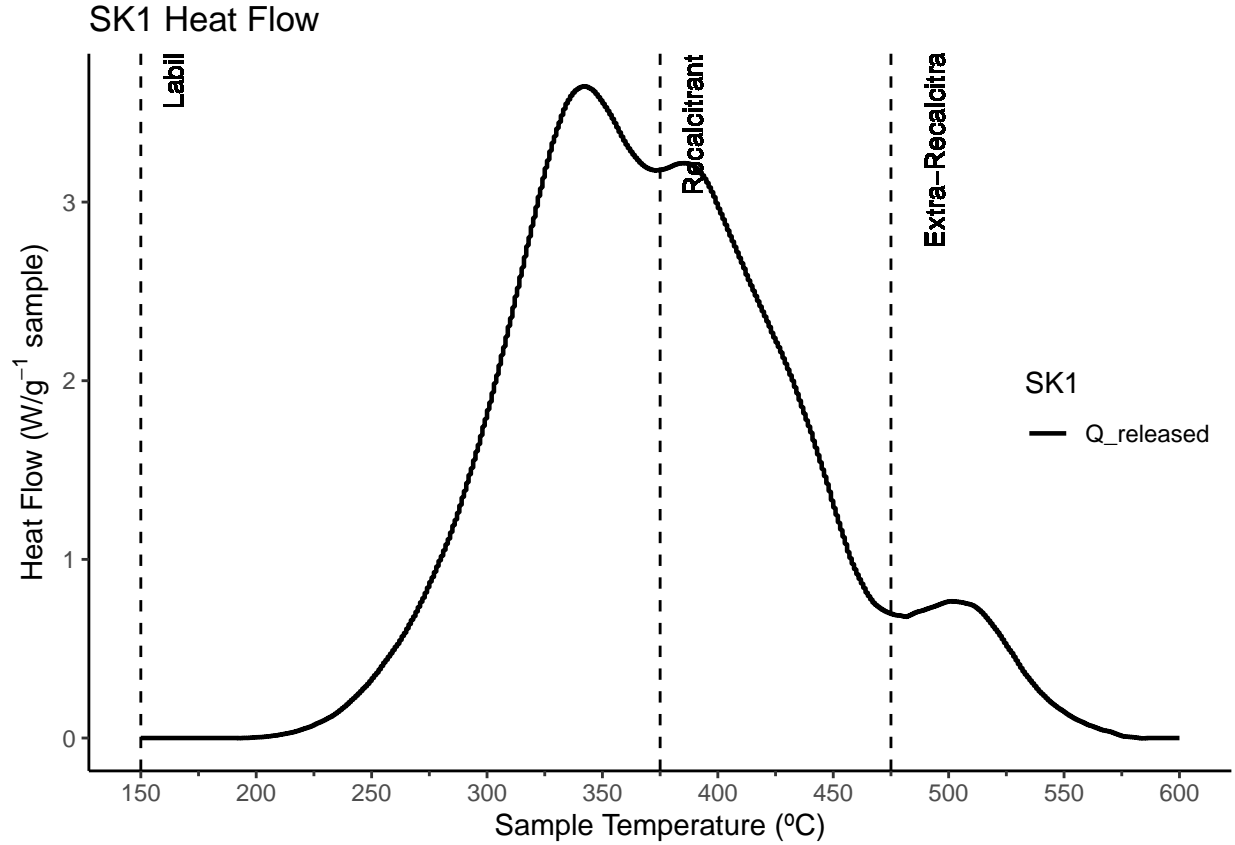
En el termograma de la tercera muestra de mantillo de planicie presenta una forma bimodal y con una acumulación de energía liberada de 43.7% en la región Q1 con el proceso térmico más prominente que ocurre a los 344 $^{\circ}\text{C}$ de temperatura. La región Q2 ocupa un 44.8% de la energía liberada y un pico a los 424.6 $^{\circ}\text{C}$ de temperatura. En la región Q3 se ocupa un 11.5% de la energía liberada y un hombro a los 475.1 $^{\circ}\text{C}$. En esta muestra se obtuvo un valor de T50 de 388 $^{\circ}\text{C}$.



Curvas de DSC de Suelo

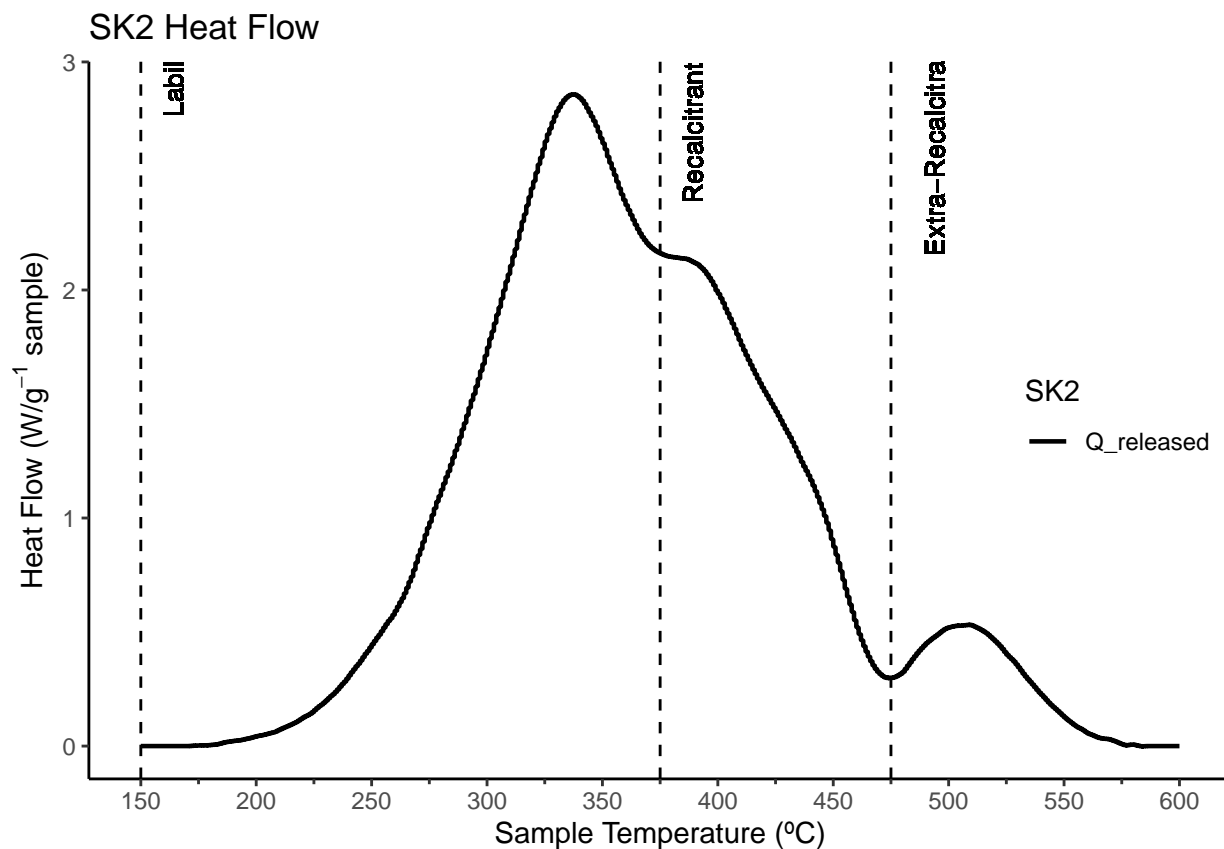
SK1

En el termograma de la primera muestra de suelos de lomerios kársticos presenta una forma trimodal y con una acumulación de energía liberada de 51.5% en la región Q1 con el proceso térmico más prominente que ocurre a los 342.3 $^{\circ}\text{C}$ de temperatura y se observa un hombro a los 310 $^{\circ}\text{C}$. La región Q2 ocupa un 40.1% de la energía liberada y un pico a los 385.7 $^{\circ}\text{C}$ de temperatura. En la región Q3 se ocupa un 8.4% de la energía liberada y un pico a los 501.9 $^{\circ}\text{C}$. En esta muestra se obtuvo un valor de T50 de 372 $^{\circ}\text{C}$.



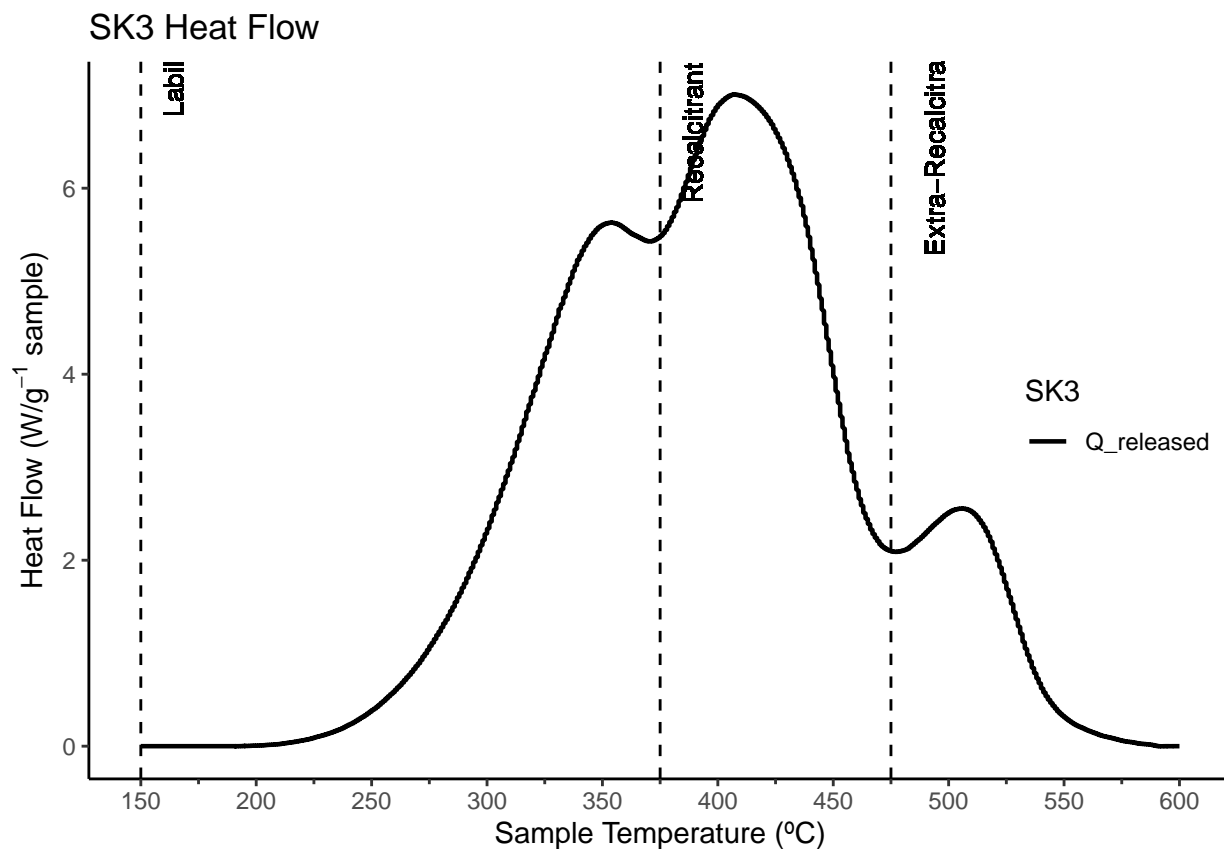
SK2

En el termograma de la primera muestra de suelos de lomerios kársticos presenta una forma bimodal y con una acumulación de energía liberada de 58.1% en la región Q1 con el proceso térmico más prominente que ocurre a los 337.73 $^{\circ}\text{C}$ de temperatura y se observa un hombro a los 275 $^{\circ}\text{C}$. La región Q2 ocupa un 34.3% de la energía liberada en la cual no se observan eventos térmicos prominentes, solo un hombro a los 375.1 $^{\circ}\text{C}$ de temperatura y otro a los 445 $^{\circ}\text{C}$. En la región Q3 se ocupa un 7.5% de la energía liberada y un pico a los 509 $^{\circ}\text{C}$. En esta muestra se obtuvo un valor de T50 de 360 $^{\circ}\text{C}$.



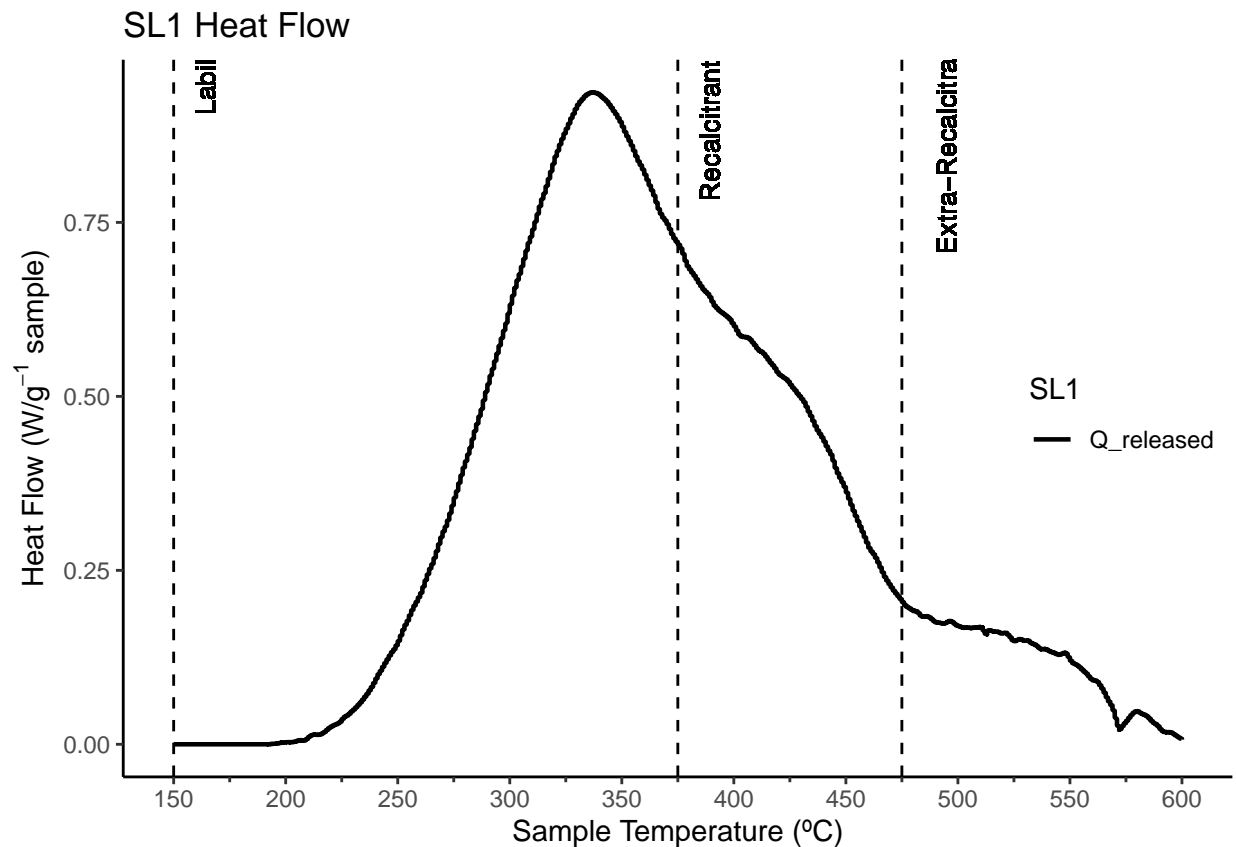
SK3

En el termograma de la tercer muestra de suelos de lomerios kársticos presenta una forma trimodal y con una acumulación de energía liberada de 36.2% en la región Q1 con un pico a los 354 $^{\circ}\text{C}$ de temperatura y se observa un hombro a los 322 $^{\circ}\text{C}$. La región Q2 ocupa un 50.5% de la energía liberada y un pico a los 407 $^{\circ}\text{C}$ de temperatura, siendo el evento térmico más prominente. En la región Q3 se ocupa un 13.3% de la energía liberada y un pico a los 505.9 $^{\circ}\text{C}$. En esta muestra se obtuvo un valor de T50 de 400 $^{\circ}\text{C}$.



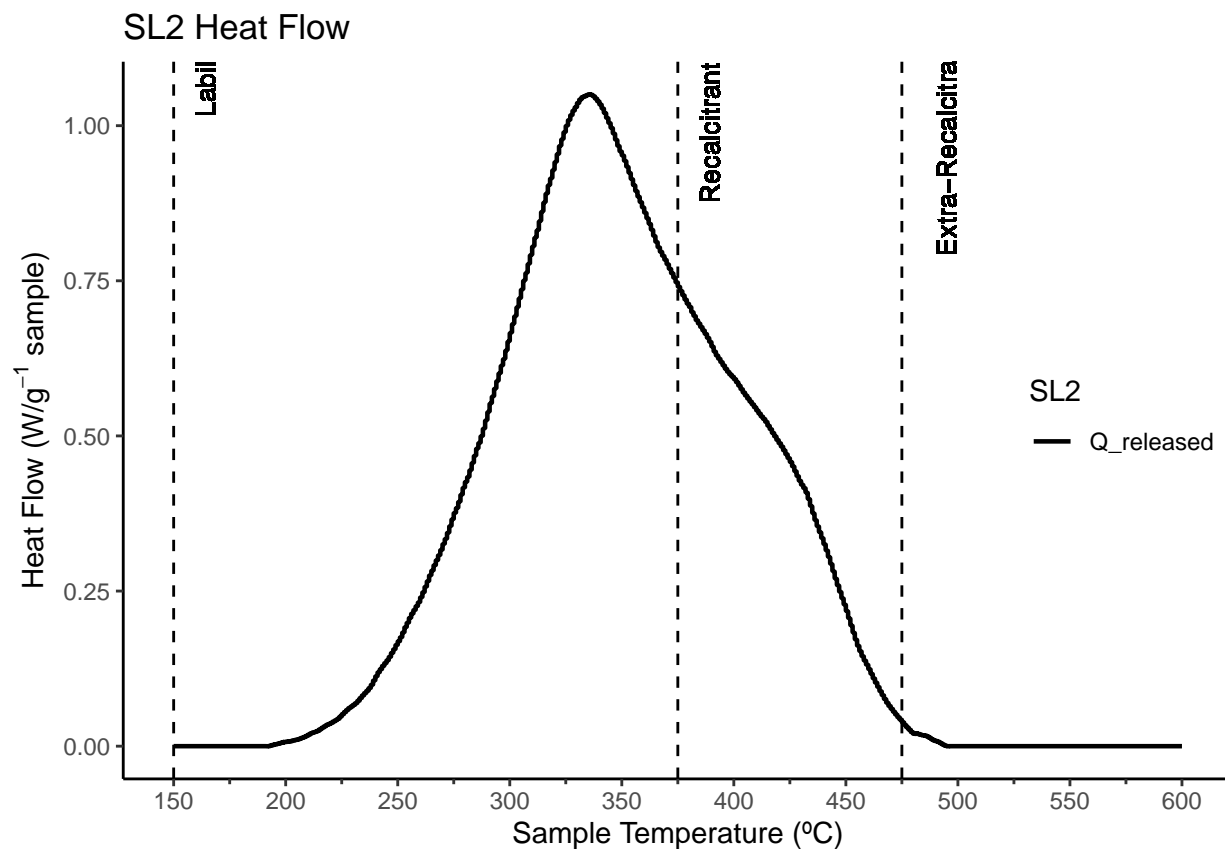
SL1

En el termogr ma de la primer muestra de suelos de lomerios presenta una forma trimodal y con una acumulaci n de energ a liberada de 56.2% en la regi n Q1 con un pico a los 337.0 $^{\circ}\text{C}$ de temperatura, siendo el evento t rmico m s prominente, y se observa un hombro a los 294 $^{\circ}\text{C}$. La regi n Q2 ocupa un 33.6% de la energ a liberada y un hombro a los 437 $^{\circ}\text{C}$ de temperatura, siendo el evento t rmico m s prominente. En la regi n Q3 se ocupa un 10.3% de la energ a liberada y un hombro a los 553 $^{\circ}\text{C}$. En esta muestra se obtuvo un valor de T50 de 363 $^{\circ}\text{C}$.



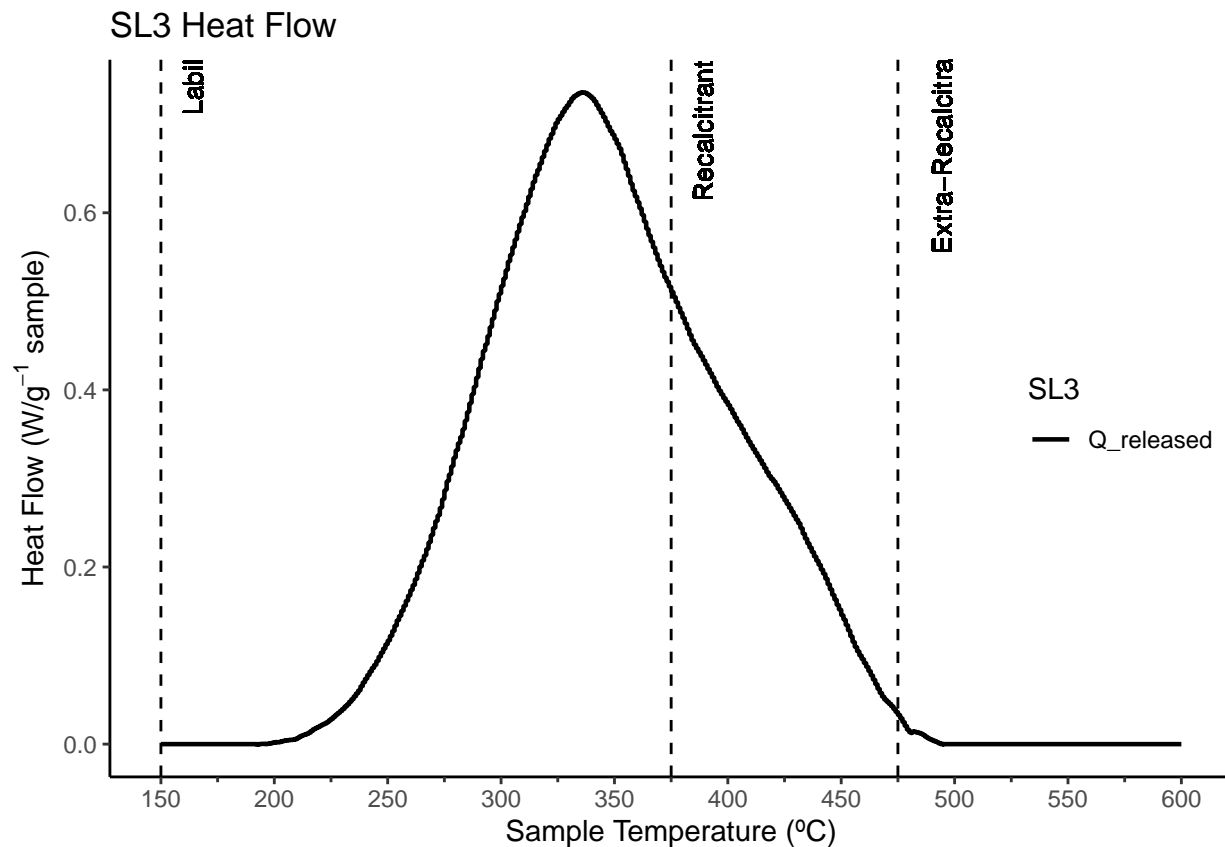
SL2

En el termograma de la primer muestra de suelos de lomerios presenta una forma trimodal y con una acumulación de energía liberada de 56.2% en la región Q1 con un pico a los 337 $^{\circ}\text{C}$ de temperatura, siendo el evento térmico más prominente, y se observa un hombro a los 294 $^{\circ}\text{C}$. La región Q2 ocupa un 33.6% de la energía liberada y un hombro a los 437 $^{\circ}\text{C}$ de temperatura. En la región Q3 se ocupa un 10.3% de la energía liberada y un hombro a los 553 $^{\circ}\text{C}$. En esta muestra se obtuvo un valor de T50 de 363 $^{\circ}\text{C}$.



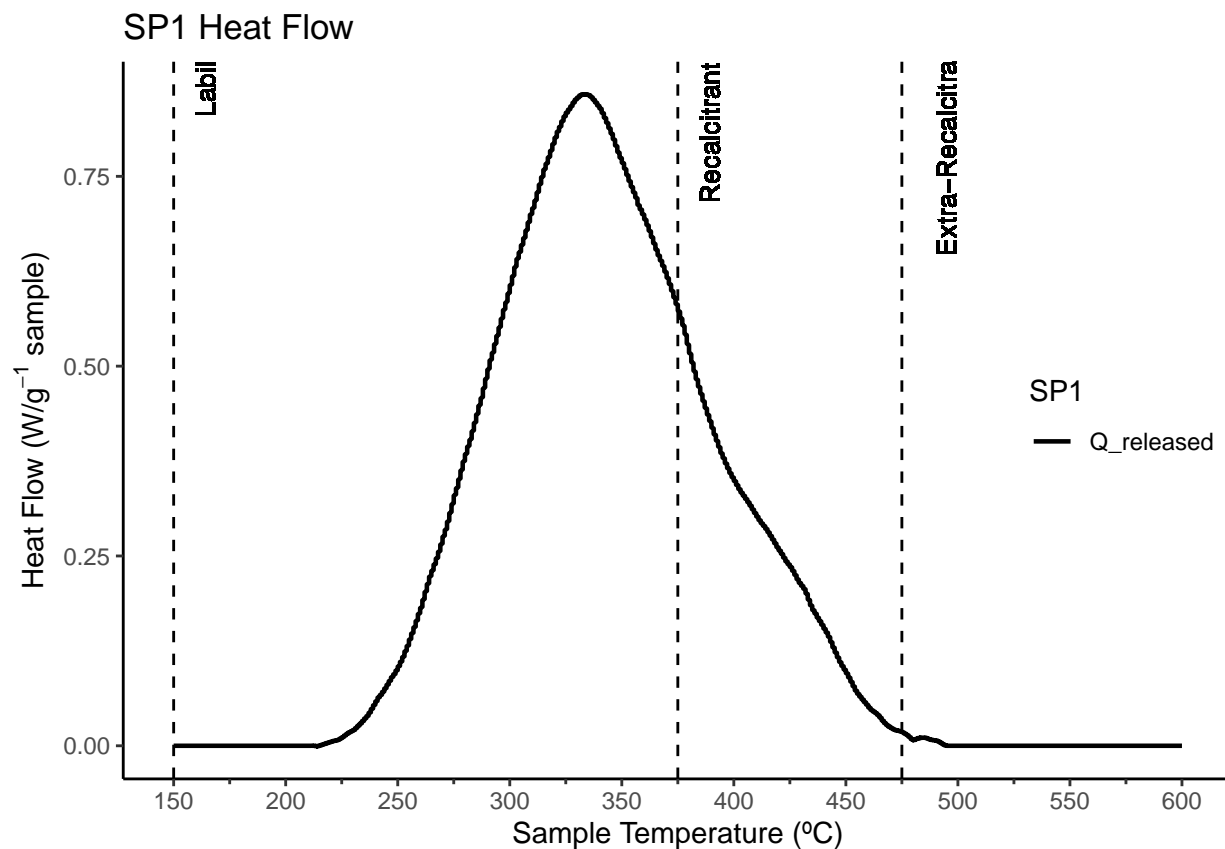
SL3

En el termograma de la primer muestra de suelos de lomerios presenta una forma unimodal y con una acumulación de energía liberada de 70.1% en la región Q1 con un pico a los 336.3 $^{\circ}\text{C}$ de temperatura, siendo el evento térmico más prominente, y se observa un hombro a los 290 $^{\circ}\text{C}$. La región Q2 ocupa un 29.6% de la energía liberada y un hombro a los 391.0 $^{\circ}\text{C}$ de temperatura. En la región Q3 se ocupa un 0.3% de la energía liberada y no resalta ningún evento térmico en esta región. En esta muestra se obtuvo un valor de T50 de 345 $^{\circ}\text{C}$.



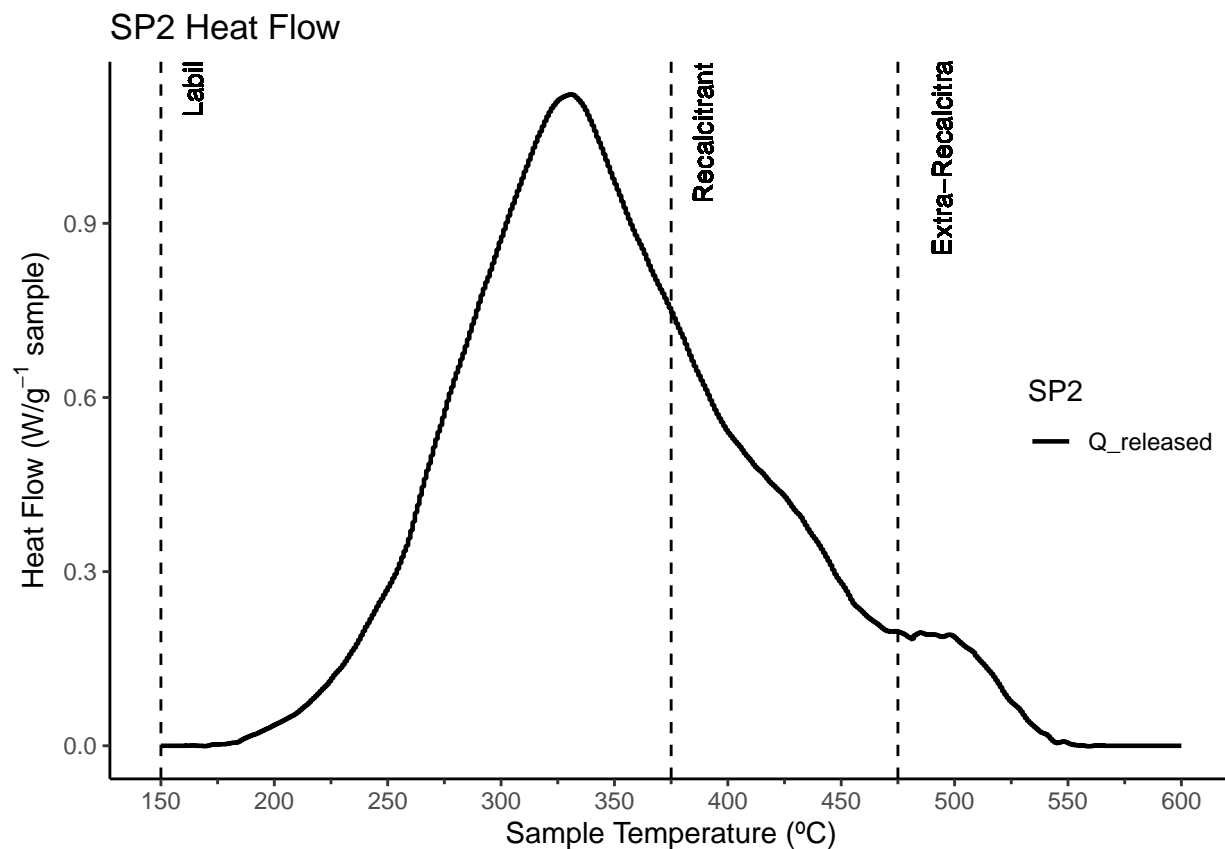
SP1

En el termogr ma de la primer muestra de suelos de planicie presenta una forma unimodal y con una acumulaci n de energ a liberada de 75.0% en la regi n Q1 con un pico a los 333.1 $^{\circ}\text{C}$ de temperatura, siendo el evento t rmico m s prominente, y se observa un hombro a los 295 $^{\circ}\text{C}$. La regi n Q2 ocupa un 24.8% de la energ a liberada y un hombro a los 379 $^{\circ}\text{C}$ de temperatura y otro a los 424 $^{\circ}\text{C}$. En la regi n Q3 se ocupa un 0.2% de la energ a liberada y no resalta ning n evento t rmico en esta regi n. En esta muestra se obtuvo un valor de T50 de 341 $^{\circ}\text{C}$.



SP2

En el termogr ma de la segunda muestra de suelos de planicie presenta una forma unimodal y con una acumulaci n de energ a liberada de 67.4% en la regi n Q1 con un pico a los 331 $^{\circ}\text{C}$ de temperatura, siendo el evento t rmico m s prominente, y se observa un hombro a los 270 $^{\circ}\text{C}$. La regi n Q2 ocupa un 27.0% de la energ a liberada y un hombro a los 381.0 $^{\circ}\text{C}$ de temperatura y otro a los 435 $^{\circ}\text{C}$. En la regi n Q3 se ocupa un 5.7% de la energ a liberada y se observa un hombro a los 502 $^{\circ}\text{C}$. En esta muestra se obtuvo un valor de T50 de 344 $^{\circ}\text{C}$.



SP3

En el termograma de la tercer muestra de suelos de planicie presenta una forma unimodal y con una acumulación de energía liberada de 72.0% en la región Q1 con un pico a los 323.4 $^{\circ}\text{C}$ de temperatura, siendo el evento térmico más prominente, y se observa un hombro a los 268 $^{\circ}\text{C}$. La región Q2 ocupa un 25.4% de la energía liberada y un hombro a los 423.0 $^{\circ}\text{C}$ de temperatura. En la región Q3 se ocupa un 2.6% de la energía liberada y se observa un hombro a los 502 $^{\circ}\text{C}$. En esta muestra se obtuvo un valor de T50 de 334 $^{\circ}\text{C}$.

